

บทที่ 3 ขั้นตอนการดำเนินงานวิจัย

3.1 วัตถุคิบที่นำมาใช้ในการอัดแท่งเชื้อเพลิง

วัตถุคิบที่ใช้ในการอัดแท่งเชื้อเพลิงจะประกอบด้วยวัตถุคิบหลัก 2 อย่าง คือ วัตถุคิบที่ใช้อัดเป็นแท่งเชื้อเพลิง และวัตถุคิบที่ใช้เป็นตัวประสานเพื่อที่จะทำให้แท่งเชื้อเพลิงที่ผ่านกระบวนการอัดสามารถยึดเกาะกันได้

3.1.1 วัตถุคิบที่ใช้อัดเป็นแท่งเชื้อเพลิง

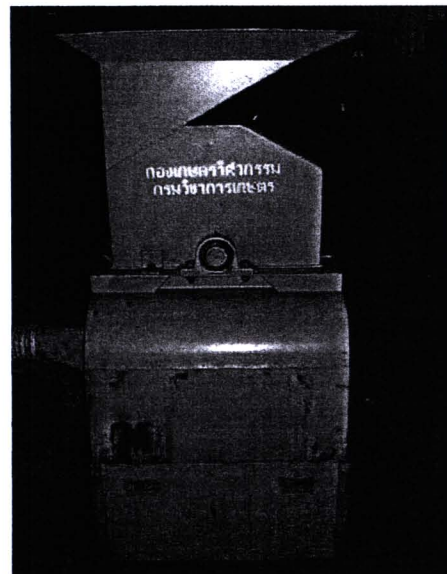
วัตถุคิบหลักที่นำมาใช้อัดเป็นแท่งเชื้อเพลิงคือองของกิ่ง และลำต้นของสนูปดำรวมถึงวัสดุเหลือใช้ทางการเกษตร อันได้แก่ ซังข้าวโพด ชานอ้อย กา jm น้ำสำปะหลัง และแกลบ โดยเริ่มจากนำวัตถุคิบดังกล่าวไปทดสอบค่า Proximate Analysis เพื่อเปรียบเทียบคุณภาพอนเสถียร (fixed carbon) เถ้าถ่าน ความหนาแน่น และค่าความร้อนของวัตถุคิบแต่ละชนิด ซึ่งได้ผลดังตารางที่ 3.1

ตารางที่ 3.1 ค่า Proximate Analysis ของวัตถุคิบหลักที่นำมาใช้อัดเป็นแท่งเชื้อเพลิง [15]

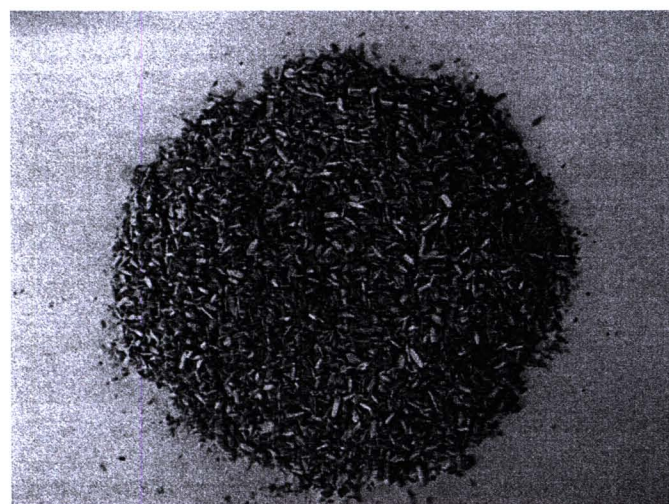
วัตถุคิบ	% สารระเหย	% เถ้าถ่าน	% คาร์บอน เสถียร	ความ หนาแน่น (kg/m ³)	ค่าความร้อน (kJ/kg)
สนูปดำ	80.84	1.21	15.78	123.552	15,742
ซังข้าวโพด	81.00	1.38	15.39	375.158	15,580
กา jm น้ำสำปะหลัง	82.00	3.28	11.17	339.211	14,407
ชานอ้อย	84.00	1.55	9.51	104.667	13,281
แกลบ	63.00	19.45	14.02	219.136	12,393

จากตารางที่ 3.1 จะเห็นได้ว่าค่าความร้อนของวัตถุคิบเรียงลำดับจากมากไปหาน้อยคือสนูปดำ ซังข้าวโพด กา jm น้ำสำปะหลัง ชานอ้อย และแกลบ ตามลำดับ เนื่องจากในการอัดขึ้นรูปแท่งเชื้อเพลิงชีวมวลต้องทำการบดย่อยวัตถุคิบต่างๆ จนมีขนาดเล็กกว่า 3 mm นำวัตถุคิบดังกล่าวไปตัดเป็นท่อนๆ และตากแดดให้แห้งเพื่อสะดวกต่อการบดย่อย โดยการบดนี้จะใช้เครื่องบดย่อยวัสดุที่มีตะแกรงกรองวัสดุขนาด 3 mm รองอยู่ซึ่งได้รับความอนุญาตจากกองเกยตุร่วิศวกรรมดังรูปที่ 3.1

หลังจากทำการบดย่อยด้วยเครื่องบดย่อยแล้วตقطุคิบต่างๆ ก็จะมีลักษณะเกือบเป็นผงดังรูปที่ 3.2 ซึ่งจะมีขนาดเล็กกว่า 3 mm



รูปที่ 3.1 ลักษณะของเครื่องบดย่อยวัสดุ



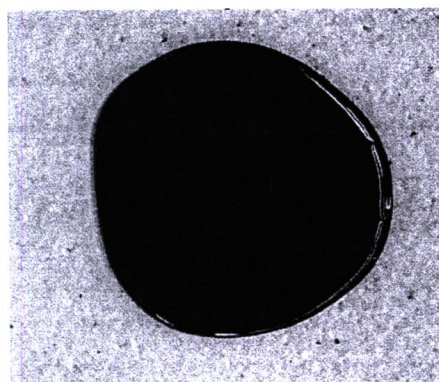
รูปที่ 3.2 ลักษณะของวัตถุคิบที่ผ่านการบด

3.1.2 ตัวประสานที่ใช้ในการอัดแท่งเชือเพลิง

ตัวประสานที่จะนำมาใช้ในการศึกษาวิจัยในครั้งนี้ประกอบด้วยกากน้ำตาล (Molasses) และแป้งเปียก เนื่องจากการศึกษางานวิจัยที่ผ่านมานั้นระบุว่าตัวประสานทั้งสองตัวที่เลือกมานี้มีสมบัติในการนำมาทำเป็นตัวประสานได้

3.1.2.1 กากน้ำตาล (Molasses)

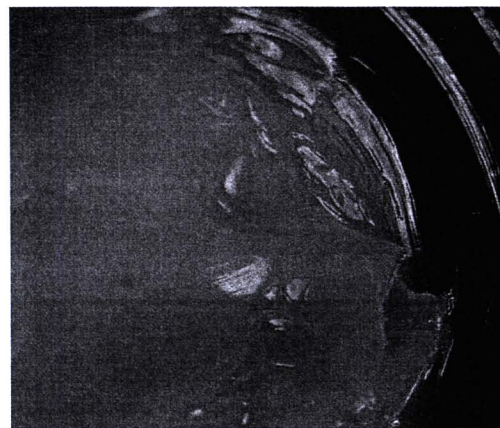
กากน้ำตาลคือของเหลวที่มีลักษณะเป็นน้ำเชื่อมสีน้ำตาลเข้ม ของเหลวนี้จะถูกแยกออกจากเกล็ดน้ำตาลโดยวิธีการปั่น (Centrifuge) โดยกากน้ำตาลที่นำมาใช้ในงานวิจัยนี้เป็นกากน้ำตาลที่ได้มาจากการอุตสาหกรรมน้ำตาลซึ่งจะมีลักษณะหนืดและขันดังรูปที่ 3.3



รูปที่ 3.3 ลักษณะของกากน้ำตาลที่ใช้ในงานวิจัย

3.1.2.2 แป้งเปียก

ตัวประสานแป้งเปียกทำได้โดยการนำแป้งมันผสมกับน้ำในสัดส่วน 1 ต่อ 4 โดยใช้แป้งมัน 1 ส่วน น้ำ 4 ส่วน (หรือเทียบเป็นสัดส่วนแป้งมัน 0.25 kg ต่อ น้ำ 1 L) และต้มที่อุณหภูมิ 80-90 °C ค่อนข้างเพื่อให้แป้งสุก และเข้ากันกับน้ำ เป็นเวลา 5-10 นาที จะสังเกตได้ว่าน้ำจะระเหยไปจนหมด เหลือเพียงเนื้อแป้งเปียกเหลวคล้ายเจลเหนียวดังรูปที่ 3.4



รูปที่ 3.4 ลักษณะของตัวประสานเป็นเปียกที่ใช้ในงานวิจัย

3.2 อุปกรณ์การทดลอง

ในการทดลองการอัดแห้งเชื้อเพลิงที่เงื่อนไขต่างๆ จะมีอุปกรณ์ในการทดลองดังนี้

1. เครื่องอัดรีดแห้งเชื้อเพลิงแข็งซึ่งใช้มอเตอร์ส่งกำลังขนาด 10 แรงม้า (10 hp)
2. เครื่องผสมวัตถุดิน
3. เครื่องบดบ่อบัวสคุ
4. ตาชั่งน้ำหนัก
5. มีดตัดแห้งเชื้อเพลิง
6. เครื่องทดสอบค่าการด้านทานแรงกด (UTM)
7. เครื่องทดสอบค่าความร้อน (Bomb Calorimeter)
8. สารละลายที่ใช้ในการทดสอบค่าความหนาแน่น (ทอลูอิน)

3.3 ขั้นตอนการทดลองอัดแห้งเชื้อเพลิง

1. นำลำด้านสนับสำรวมทั้งวัสดุชีวมวลอื่นๆ อันได้แก่ ซังข้าวโพด กา jm น้ำปลาหลัง ชาโน้อย และ แกลบันที่จะทำการผสมเพื่ออัดแห้งเชื้อเพลิงชีวมวลไปตัดเป็นท่อนและนำไปตากแห้ง
2. นำวัสดุชีวมวลที่ตากแห้งแล้วมาทำการบดให้มีขนาดเล็กกว่า 3 mm
3. ทำการเตรียมส่วนผสมโดยการซั่งน้ำหนักของผงชีวมวลแต่ละชนิดในสัดส่วนที่จะทำการทดลอง ในแต่ละเงื่อนไข
4. ผสมตัวประสานตามสัดส่วนของเงื่อนไขที่ใช้ในการทดลอง
5. คลุกเคล้าส่วนผสมที่เดินตัวประสานแล้วให้เข้ากัน

6. ทดสอบอัคแท่งเชื้อเพลิงชีวมวลด้วยเครื่องอัคริดแท่งเชื้อเพลิงแข็งที่มีข่ายตามห้องทดลองซึ่งใช้มอเตอร์สั่งกำลังขนาด 10 แรงม้า
7. เมื่อได้แท่งเชื้อเพลิงชีวมวลมาแล้วให้ทำการนำไปอบให้เหลือความชื้น 10 % db (dry basis)
8. นำแท่งเชื้อเพลิงที่อบจนได้ความชื้น 10 % db แล้วไปทำการทดสอบสมบัติต่างๆ



3.4 การทดลองที่ใช้แบ่งเปียกเป็นตัวประสาน

ในการทดลองทำการผลิตแท่งเชื้อเพลิงแข็งซึ่งใช้แบ่งเปียกเป็นตัวประสานจะแบ่งออกเป็นสองส่วน ส่วนแรกเป็นการศึกษาถึงอิทธิพลของสัดส่วนของตัวประสานที่มีผลต่อสมบัติทางกายภาพของแท่ง เชื้อเพลิงที่ผลิตได้ ส่วนที่สองเป็นการศึกษาถึงอิทธิพลของสัดส่วนวัตถุดินที่มีผลต่อสมบัติทางกายภาพของแท่งเชื้อเพลิงที่ผลิตได้ เช่นเดียวกัน

3.4.1 อิทธิพลของสัดส่วนตัวประสานแบ่งเปียก

การศึกษาอิทธิพลของสัดส่วนตัวประสาน มีวัตถุประสงค์เพื่อให้ทราบถึงความสัมพันธ์ของการเปลี่ยนแปลงสัดส่วนของตัวประสานและผลที่ได้จากการทดลอง โดยเลือกใช้สัดส่วนของสนูป์ดำ และสัดส่วนของแบ่งเปียกต่อน้ำหนักของวัตถุดินตามเงื่อนไขในตารางที่ 3.2

ตารางที่ 3.2 เงื่อนไขการทดลองเพื่อการศึกษาการผลิตแท่งเชื้อเพลิงซึ่งใช้แบ่งเปียกเป็นตัวประสาน

เงื่อนไข การทดลอง	สัดส่วนของสนูป์ดำ (% โดยน้ำหนัก)	สัดส่วนของแบ่งเปียก (% โดยน้ำหนัก)
1	60	40
2	65	35
3	70	30
4	75	25
5	80	20
6	85	15
7	90	10
8	95	5

3.4.2 อิทธิพลของสัดส่วนวัตถุคิบเมื่อใช้แบ่งเปียกเป็นตัวประสาน

ในการศึกษาอิทธิพลของสัดส่วนวัตถุคิบมีจุดประสงค์เพื่อศึกษาถึงความสัมพันธ์ของการเปลี่ยนแปลงสัดส่วนของวัตถุคิบต่อผลที่ได้จากการทดลอง โดยจะทำการเปลี่ยนแปลงสัดส่วนของวัตถุคิบตามเงื่อนไขในตารางที่ 3.3-3.10

ตารางที่ 3.3 เงื่อนไขการทดลองเพื่อการศึกษาการผลิตแท่งเชือเพลิงจากสูญค่าและซังข้าวโพด
ซึ่งใช้แบ่งเปียกเป็นตัวประสานที่สัดส่วน 15 %

สูญค่า (% โดยน้ำหนัก)	ซังข้าวโพด (% โดยน้ำหนัก)	แบ่งเปียก (% โดยน้ำหนัก)
45	40	15
50	35	
55	30	
60	25	

ตารางที่ 3.4 เงื่อนไขการทดลองเพื่อการศึกษาการผลิตแท่งเชือเพลิงจากสูญค่าและการมันสำปะหลัง
ซึ่งใช้แบ่งเปียกเป็นตัวประสานที่สัดส่วน 15 %

สูญค่า (% โดยน้ำหนัก)	การมันสำปะหลัง (% โดยน้ำหนัก)	แบ่งเปียก (% โดยน้ำหนัก)
45	40	15
50	35	
55	30	
60	25	

ตารางที่ 3.5 เงื่อนไขการทดลองเพื่อการศึกษาการผลิตแท่งเชือเพลิงจากสูญค่าและชานอ้อย
ซึ่งใช้แบ่งเปียกเป็นตัวประสานที่สัดส่วน 15 %

สูญค่า (% โดยน้ำหนัก)	ชานอ้อย (% โดยน้ำหนัก)	แบ่งเปียก (% โดยน้ำหนัก)
45	40	15
50	35	
55	30	
60	25	

ตารางที่ 3.6 เงื่อนไขการทดลองเพื่อการศึกษาการผลิตแท่งเชือกเหล็กจากสูญค่าและแกลบุช์ใช้เปลี่ยนเป็นตัวประสานที่สัดส่วน 15 %

สูญค่า (%) โดยหนัก)	แกลบุช์ (%) โดยหนัก)	เปลี่ยนเป็นตัวประสานที่สัดส่วน (%) โดยหนัก)
45	40	15
50	35	
55	30	
60	25	

ตารางที่ 3.7 เงื่อนไขการทดลองเพื่อการศึกษาการผลิตแท่งเชือกเหล็กจากสูญค่าและซังข้าวโพดบุช์ใช้เปลี่ยนเป็นตัวประสานที่สัดส่วน 20 %

สูญค่า (%) โดยหนัก)	ซังข้าวโพด (%) โดยหนัก)	เปลี่ยนเป็นตัวประสานที่สัดส่วน (%) โดยหนัก)
40	40	20
50	30	
60	20	
70	10	

ตารางที่ 3.8 เงื่อนไขการทดลองเพื่อการศึกษาการผลิตแท่งเชือกเหล็กจากสูญค่าและการบันสำปะหลังบุช์ใช้เปลี่ยนเป็นตัวประสานที่สัดส่วน 20 %

สูญค่า (%) โดยหนัก)	การบันสำปะหลัง (%) โดยหนัก)	เปลี่ยนเป็นตัวประสานที่สัดส่วน (%) โดยหนัก)
40	40	20
50	30	
60	20	
70	10	

ตารางที่ 3.9 เงื่อนไขการทดลองเพื่อการศึกษาการผลิตแท่งเชือเพลิงจากสบู่คำและชานอ้อย ซึ่งใช้แป้งเปียกเป็นตัวประสานที่สัดส่วน 20 %

สบู่คำ (% โดยน้ำหนัก)	ชานอ้อย (% โดยน้ำหนัก)	แป้งเปียก (% โดยน้ำหนัก)
40	40	20
50	30	
60	20	
70	10	

ตารางที่ 3.10 เงื่อนไขการทดลองเพื่อการศึกษาการผลิตแท่งเชือเพลิงจากสบู่คำและแกลบ ซึ่งใช้แป้งเปียกเป็นตัวประสานที่สัดส่วน 20 %

สบู่คำ (% โดยน้ำหนัก)	แกลบ (% โดยน้ำหนัก)	แป้งเปียก (% โดยน้ำหนัก)
40	40	20
50	30	
60	20	
70	10	

3.5 การทดลองที่ใช้akanนำ้ตาลเป็นตัวประสาน

ในการทดลองทำการผลิตแท่งเชือเพลิงแข็งซึ่งใช้akanนำ้ตาลเป็นตัวประสานจะแบ่งออกเป็นสองส่วน เช่นเดียวกับการทดลองในส่วนของการใช้แป้งเปียกเป็นตัวประสาน ซึ่งในส่วนแรกเป็นการศึกษาถึง อิทธิพลของสัดส่วนของตัวประสานที่มีผลต่อสมบัติทางกายภาพของแท่งเชือเพลิงที่ผลิต ได้ ส่วนที่สองเป็นการศึกษาถึงอิทธิพลของสัดส่วนวัตถุคิดที่มีผลต่อสมบัติทางกายภาพของแท่งเชือเพลิงที่ผลิต ได้เช่นกัน

3.5.1 อิทธิพลของสัดส่วนตัวประสานakanนำ้ตาล

การศึกษาอิทธิพลของสัดส่วนตัวประสาน มีวัตถุประสงค์เพื่อให้ทราบถึงความสัมพันธ์ของการเปลี่ยนแปลงสัดส่วนของตัวประสานและผลที่ได้จากการทดลอง โดยลือกใช้สัดส่วนของสบู่คำ และ สัดส่วนของโนลาสต่อน้ำหนักของวัตถุคิดตามเงื่อนไขในตารางที่ 3.11

ตารางที่ 3.11 เงื่อนไขการทดลองเพื่อการศึกษาการผลิตแท่งเชือเพลิงซึ่งใช้กาน้ำตาลเป็นตัวประสาน

เงื่อนไขการทดลอง	สัดส่วนของสูญค่า (% โดยน้ำหนัก)	สัดส่วนของกาน้ำตาล (% โดยน้ำหนัก)
1	60	40
2	65	35
3	70	30
4	75	25
5	80	20
6	85	15
7	90	10
8	95	5

3.5.2 อิทธิพลของสัดส่วนวัตถุคิบเมื่อใช้กาน้ำตาลเป็นตัวประสาน

ในการศึกษาอิทธิพลของสัดส่วนวัตถุคิบมีจุดประสงค์เพื่อศึกษาถึงความสัมพันธ์ของการเปลี่ยนแปลงสัดส่วนของวัตถุคิบต่อผลที่ได้จากการทดลอง โดยจะกำหนดสัดส่วนของโมลารต่อน้ำหนักของวัตถุคิบที่ 20 % และ 15 % และทำการเปลี่ยนแปลงสัดส่วนของวัตถุคิบตามเงื่อนไขการทดลองตามตารางที่ 3.12-3.19

ตารางที่ 3.12 เงื่อนไขการทดลองเพื่อการศึกษาการผลิตแท่งเชือเพลิงจากสูญค่าและซังข้าวโพดซึ่งใช้กาน้ำตาลเป็นตัวประสานที่สัดส่วน 15 %

สูญค่า (% โดยน้ำหนัก)	ซังข้าวโพด (% โดยน้ำหนัก)	กาน้ำตาล (% โดยน้ำหนัก)
45	40	15
50	35	
55	30	
60	25	

ตารางที่ 3.13 เงื่อนไขการทดลองเพื่อการศึกษาการผลิตแท่งเชือเพลิงจากสบู่คำและกากมันสำปะหลัง ซึ่งใช้กากน้ำตาลเป็นตัวประสานที่สัดส่วน 15 %

สบู่คำ (% โดยน้ำหนัก)	กากมันสำปะหลัง (% โดยน้ำหนัก)	กากน้ำตาล (% โดยน้ำหนัก)
45	40	15
50	35	
55	30	
60	25	

ตารางที่ 3.14 เงื่อนไขการทดลองเพื่อการศึกษาการผลิตแท่งเชือเพลิงจากสบู่คำและชานอ้อย ซึ่งใช้กากน้ำตาลเป็นตัวประสานที่สัดส่วน 15 %

สบู่คำ (% โดยน้ำหนัก)	ชานอ้อย (% โดยน้ำหนัก)	กากน้ำตาล (% โดยน้ำหนัก)
45	40	15
50	35	
55	30	
60	25	

ตารางที่ 3.15 เงื่อนไขการทดลองเพื่อการศึกษาการผลิตแท่งเชือเพลิงจากสบู่คำและเกลบ ซึ่งใช้กากน้ำตาลเป็นตัวประสานที่สัดส่วน 15 %

สบู่คำ (% โดยน้ำหนัก)	เกลบ (% โดยน้ำหนัก)	กากน้ำตาล (% โดยน้ำหนัก)
45	40	15
50	35	
55	30	
60	25	

**ตารางที่ 3.16 เงื่อนไขการทดลองเพื่อการศึกษาการผลิตแท่งเชือเพลิงจากสูญค่าและซังข้าวโพด
ซึ่งใช้กากน้ำตาลเป็นตัวประสานที่สัดส่วน 20 %**

สูญค่า (% โดยน้ำหนัก)	ซังข้าวโพด (% โดยน้ำหนัก)	กากน้ำตาล (% โดยน้ำหนัก)
40	40	20
50	30	
60	20	
70	10	

**ตารางที่ 3.17 เงื่อนไขการทดลองเพื่อการศึกษาการผลิตแท่งเชือเพลิงจากสูญค่าและการมันสำปะหลัง
ซึ่งใช้กากน้ำตาลเป็นตัวประสานที่สัดส่วน 20 %**

สูญค่า (% โดยน้ำหนัก)	การมันสำปะหลัง (% โดยน้ำหนัก)	กากน้ำตาล (% โดยน้ำหนัก)
40	40	20
50	30	
60	20	
70	10	

**ตารางที่ 3.18 เงื่อนไขการทดลองเพื่อการศึกษาการผลิตแท่งเชือเพลิงจากสูญค่าและชานอ้อย
ซึ่งใช้กากน้ำตาลเป็นตัวประสานที่สัดส่วน 20 %**

สูญค่า (% โดยน้ำหนัก)	ชานอ้อย (% โดยน้ำหนัก)	กากน้ำตาล (% โดยน้ำหนัก)
40	40	20
50	30	
60	20	
70	10	

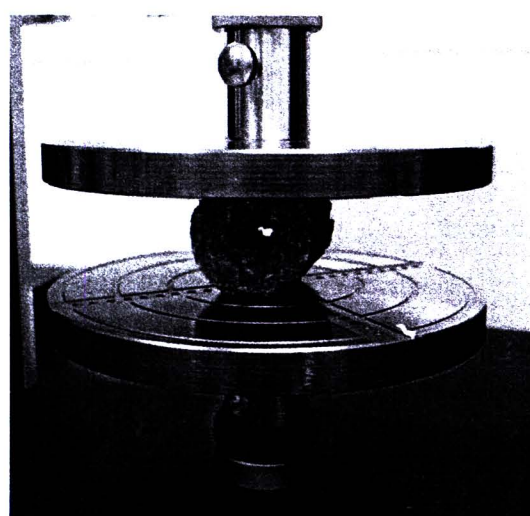
ตารางที่ 3.19 เงื่อนไขการทดลองเพื่อการศึกษาการผลิตแท่งเชือเพลิงจากสูตรคำและแกลบซึ่งใช้กากน้ำตาลเป็นตัวประสานที่สัดส่วน 20 %

สูตรคำ (% โดยน้ำหนัก)	แกลบ (% โดยน้ำหนัก)	กากน้ำตาล (% โดยน้ำหนัก)
40	40	20
50	30	
60	20	
70	10	

3.6 การทดสอบสมบัติทางกายภาพของแท่งเชือเพลิง

ในการศึกษาการผลิตเชือเพลิงเบื้องต้นแห่งนี้ ทำการทดสอบสมบัติทางกายภาพต่างๆ ดังนี้

- การหาค่าความร้อน ทำการนำแท่งเชือเพลิงที่ผ่านการอบมาแล้วจนเหลือความชื้น 10 % db มาทำการบดให้เป็นผงในปริมาณที่เพียงพอต่อการทำทดลองซ้ำได้ 3-5 ครั้ง แล้วนำไปหาค่าความร้อนด้วยเครื่องหาค่าพลังงานความร้อน (Bomb Calorimeter) ซึ่งขั้นตอนการหาค่าความร้อนจะทำตามหัวข้อ 2.4.2.1
- หลังจากทำการอบแท่งเชือเพลิงจนเหลือความชื้น 10 % db จากนั้นจะนำไปทดสอบความต้านทานแรงกดโดยใช้เครื่อง UTM ซึ่งลักษณะการวางแผนแท่งเชือเพลิงระหว่างทดสอบมีลักษณะดังรูปที่ 3.5 ซึ่งเป็นทิศทางที่แห่งเชือเพลิงมีการต้านทานแรงกดได้น้อยที่สุด



รูปที่ 3.5 ลักษณะการวางแผนแท่งเชือเพลิงในการทดสอบการต้านทานแรงกด

3. ค่าความหนาแน่น ทำการทดสอบโดยการนำแท่งเชือเพลิงที่ทำการตัดไว้ให้ขนาดเล็กพอที่จะใส่เข้าไปในภาชนะที่เตรียมไว้สำหรับวัดปริมาตรได้ แล้วทำการทดสอบหาค่าความหนาแน่นโดยการวัดมวลเทียบกับปริมาตรของเชือเพลิง โดยขั้นตอนการทดสอบค่าความหนาแน่นของแท่งเชือเพลิงจะตามหัวข้อ 2.4.3.1

3.7 การออกแบบสร้างเครื่องอัดแท่งเชือเพลิงแบบเอ็กซ์ทรูชัน และทดสอบผลิตแท่งเชือเพลิง

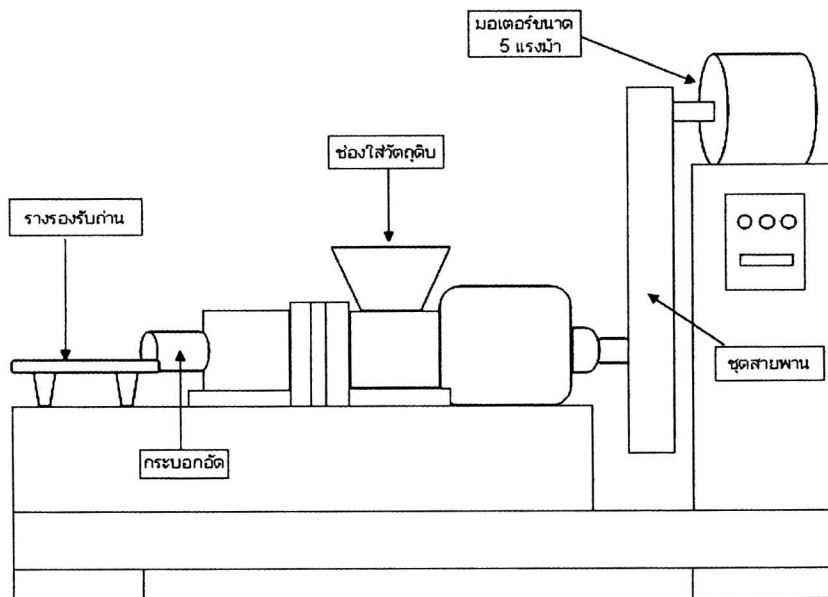
ในการออกแบบสร้างเครื่องอัดแท่งเชือเพลิง มีจุดประสงค์เพื่อปรับปรุงเครื่องอัดแท่งเชือเพลิงแบบเก่าซึ่งใช้ในการอัดแท่งเชือเพลิงที่ทำการเผาแล้วให้เหมาะสมกับการอัดแท่งเชือเพลิงเชียว (เชือเพลิงอัดแท่งที่ผลิตจากเชือเพลิงชีวนะที่ยังไม่ได้ทำการเผา) โดยที่ลักษณะโครงสร้างส่วนใหญ่จะใช้พื้นฐานการออกแบบจากเครื่องเอ็กซ์ทรูชันแบบเก่า แต่ทำการปรับเปลี่ยนระบบการครอบตัวส่งกำลังลักษณะของสกรู และระบบอุด แล้วทดสอบหาลักษณะของสกรูที่ทำให้เครื่องอัดมีประสิทธิภาพในการอัดแท่งถ่านเชียวที่ดี โดยจะคุณสมบัติด้านความด้านทานแรงกดของตัวเชือเพลิงอัดแท่งที่ผลิตออกมาได้ เนื่องจากในการใช้งานแท่งเชือเพลิง โดยทั่วไป ผู้อุปโภคแท่งเชือเพลิงแข็งนั้นจะยอมรับแท่งเชือเพลิงที่มีสัดส่วนของตัวชีวนะสูงกว่าร้อยละ 65 เพราะจะมีค่าความร้อนสูง อีกทั้งจะต้องมีความแข็งแรงสูงเพียงพอ ขั้นตอนการออกแบบเครื่องอัดแท่งชีวนะจะแบ่งออกเป็นสองขั้นตอนโดยขั้นตอนที่ 1 จะเป็นการออกแบบสกรูอัดแท่งเชือเพลิงแข็ง โดยการใช้ข้อมูลที่ได้จากการถ่ายรูปที่เกี่ยวข้องซึ่งเป็นหลักการที่ใช้ในกระบวนการอัดวัสดุในอุตสาหกรรมโพลิเมอร์ และขั้นตอนที่ 2 เป็นการทดสอบสมรรถนะของสกรูที่คำนวณออกแบบมาได้เมื่อทำการทดลองอัดแท่งเชือเพลิงแข็งจริง และเปรียบเทียบค่าความร้อนและความแข็งของแท่งเชือเพลิงที่ผลิต ได้จากการเครื่องอัดที่สร้างขึ้นกับแท่งเชือเพลิงที่ผลิตได้จากเครื่องอัดแท่งเชือเพลิงแข็งแบบเก่า

3.7.1 การออกแบบสกรูอัดแท่งเชือเพลิงแข็ง

การออกแบบสกรูอัดแท่งเชือเพลิงแข็งมีข้อกำหนดเบื้องต้นในการออกแบบดังนี้

- ขนาดเส้นผ่านศูนย์กลางของ Barret กำหนดให้มีขนาด 63 mm เพราะเมื่อทำการอัดแท่งเชือเพลิงแล้วจะได้ขนาดของแท่งเชือเพลิงแข็งที่ได้รับความนิยมใช้กันในงานอุตสาหกรรมและงานทั่วไป
- ความเร็วรอบของสกรูที่ใช้ในการอัดแท่งเชือเพลิงมีค่า 50 rpm
- สัมประสิทธิ์ความเสียดทานระหว่างเบดอนนุภาคของแข็งกับผิวของ Barret มีค่า 0.6 เป็นค่าเริ่มต้นที่ใช้ในการออกแบบ

4. สัมประสิทธิ์ความเสียดทานระหว่างเบดอนุภาคของแข็งกับผิวของสกรู มีค่า 0.3
5. ความหนาแน่นของชิ้นมวลเริ่มต้นในการผลิตที่เป็นสนูป์คัมมีค่า 415 kg/m^3
6. เส้นผ่านศูนย์กลางของสกรูมีค่า 33 mm
7. มุมเกลียวสกรูที่ดำเนินการมีค่า 20 องศา
8. กำหนดให้ในการคำนวณอัตราการผลิตเชือเพลิงแข็งอัดแท่ง ได้ในอัตรา 0.85 kg/min เพื่อที่จะใช้หัวขุดของตัวแปรอื่นๆ เช่น ความสูงของพื้นเกลียวในช่วงลำเลียงและมุมเฉียงของ Barrel
9. ความหนาของพื้นเกลียวสกรูมีค่า 3.38 mm เป็นค่าเริ่มต้นที่ใช้สำหรับการคำนวณ



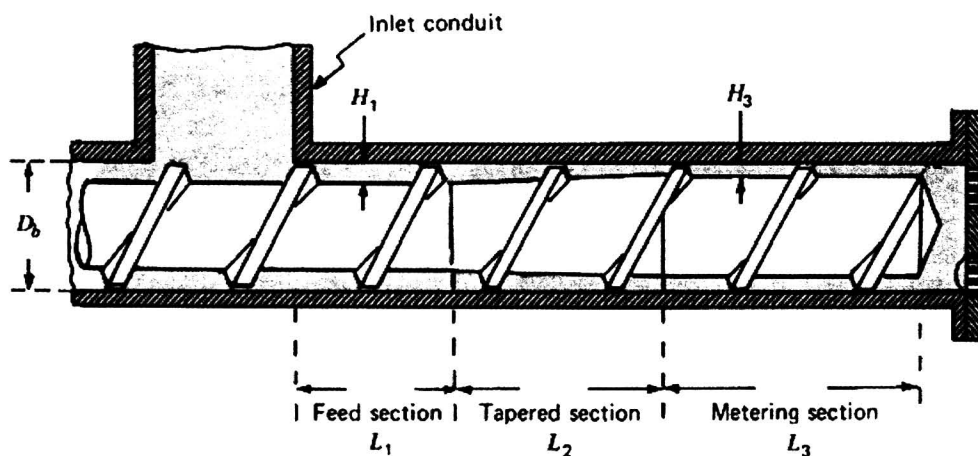
รูปที่ 3.6 ลักษณะโครงสร้างหลักในการสร้างเครื่องอัดแบบเชือกซ์ทรูชัน

3.7.1.1 แนวคิดในการออกแบบสกรูอัดแท่งเชือเพลิงแข็งในงานวิจัย

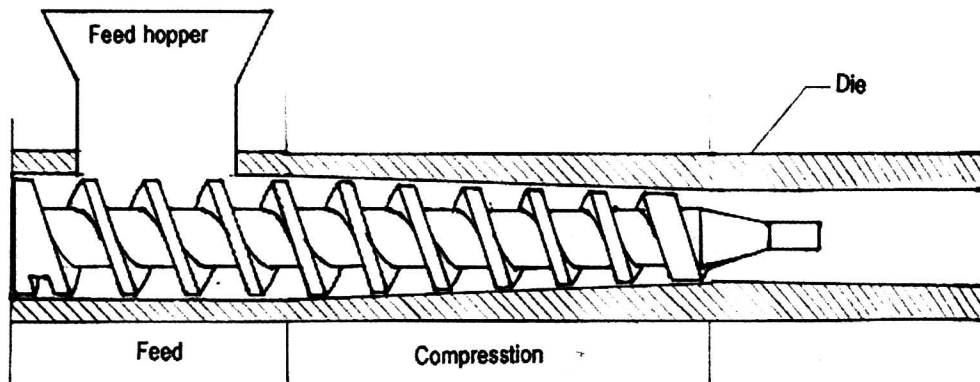
โดยปกติสกรูอัดวัสดุที่ใช้ในงานอุตสาหกรรมการอัดโพลิเมอร์ทั่วไปมีลักษณะดังรูปที่ 3.7 ซึ่งจะเห็นว่าสกรูอัดดังกล่าว มีลักษณะที่โคนของสกรูมีขนาดเส้นผ่านศูนย์กลางสกรูเล็กกว่าช่วงของปลายสกรู เพราะที่ช่วงโคนเป็นช่วงที่ใช้สำหรับลำเลียงอนุภาคของวัสดุที่จะทำการอัด และช่วงปลายจะเป็นช่วงอัดซึ่งจะมีขนาดเส้นผ่านศูนย์กลางของสกรู โดยที่มีขนาดเส้นผ่านศูนย์กลางของสกรูให้มีความหนาแน่นเพิ่มมากขึ้นและดันตัวออกจากแม่พิมพ์

การสร้างสกรูอัดแท่งเชือเพลิงแข็งให้มีลักษณะดังรูปที่ 3.7 ทำได้ยากมากจึงทำการออกแบบให้สกรูอัดมีลักษณะดังรูปที่ 3.8 ซึ่งโดยหลักการของสกรูอัดคือการเพิ่มความหนาแน่นของอนุภาคในแต่ละร่องเกลียวจากหลักการดังกล่าวสามารถใช้ในการออกแบบสกรูที่ใช้ในการอัดแท่งเชือเพลิงแข็งได้

สกรูที่ใช้ในการวิจัยนี้มีลักษณะเส้นผ่านศูนย์กลางของสกรูมีค่าคงที่ แต่จะลดปริมาตรของแต่ละร่องเกลียวเพื่อเพิ่มความหนาแน่นของอนุภาคด้วยการให้ขนาดความสูงของเกลียวมีขนาดเล็กลงตามปริมาตรหรือความหนาแน่นที่ต้องการ โดยพิจารณาว่ามวลของอนุภาคในแต่ละร่องเกลียวของสกรูมีค่าคงที่ แผนภูมิกระบวนการออกแบบสกรูอัดแสดงดังภาพผนวก ๖



รูปที่ 3.7 ลักษณะสกรูที่ใช้ในงานอัดโพลิเมอร์ทั่วไป



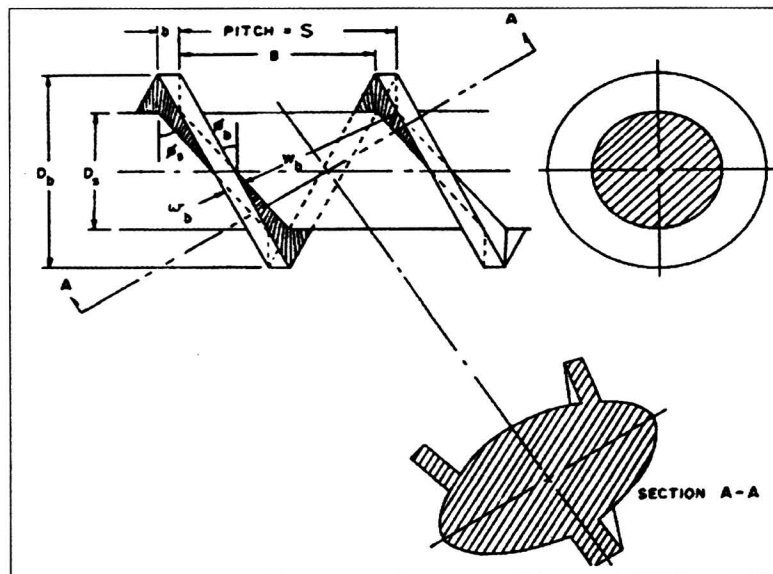
รูปที่ 3.8 ลักษณะสกรูที่ใช้อัดแท่งเชือกเพลิงในงานวิจัย

3.7.2 การคำนวณสกรูอัดแท่งเชือกเพลิงที่ใช้ในงานวิจัย

การคำนวณสกรูอัดแท่งเชือกเพลิงที่ใช้ในงานวิจัยแบ่งออกเป็น 2 ช่วง คือ ช่วงการลำเลียงชีวนวลด และ ช่วงการอัดแท่งชีวนวลด

3.7.2.1 การคำนวณช่วงลำเลียง

ในการคำนวณสกรูอัดแห่งเชือเพลิงในช่วงลำเลียงจะกำหนดตัวแปรเริ่มต้นต่างๆ ตามรูปที่ 3.9 ไว้ดังนี้



รูปที่ 3.9 รูปแบบสกรูและตัวแปรที่กำหนด

- D_s = ขนาดเส้นผ่านศูนย์กลางสกรู = 33 mm = 0.033 m
- D_b = ขนาดเส้นผ่านศูนย์กลาง barrel = 63 mm = 0.063 m
- H = ความลึกของร่องเกลียวสกรู = 15 mm = 0.015 m
- ϕ_s = มุมเอียงของฟันสกรูที่ดำเนินห้องโถง = 20°
- f_b = สัมประสิทธิ์ความเสียดทานระหว่างอนุภาคกับผิวของ barrel = 0.6
- f_s = สัมประสิทธิ์ความเสียดทานระหว่างอนุภาคกับผิวของสกรู = 0.3
- P_2 / P_1 = อัตราส่วนของความดันของเบดอนุภาคตามความยาวร่องเกลียว = 1
- p = จำนวนปากของเกลียวสกรู = 1 ปาก
- N = ความเร็วรอบของสกรู = 50 rpm
- ρ = ความหนาแน่นของชีวนมลเริ่มต้น = 415 kg/m^3
- b = ความหนาของฟันสกรูที่วัดบนนานกับแกนสกรู = 3.38 mm = 0.00338 m
- θ = มุมขันถ่ายเบดอนุภาค

จากค่าของตัวแปรที่กำหนดข้างต้นสามารถสรุปได้ดังนี้

$$D_b = 63 \text{ mm}, \phi_s = 20^\circ, N = 50 \text{ rpm}, p = 1, D_s = 33 \text{ mm.}, f_b = 0.6, \rho = 415 \text{ kg/m}^3$$

$$H = 15 \text{ mm}, f_s = 0.3, b = 3.38 \text{ mm}, P_1 = 1.01325 \text{ bar}, P_2 = 1.01325 \text{ bar}$$

ในการคำนวณสกรูอัดแห่งเชือเพลิงในช่วงลำเลียงจะใช้สมการ ดังนี้

$$\dot{M}_s = \rho \times H \times p \times W_b \times V_b \times \frac{\sin \theta}{\sin(\theta + \phi_m)} \quad (3.1)$$

จากสมการ (3.1) หากำลังแรงดันถ่ายเชิงมวลได้ดังนี้

มุมบนถ่ายเบลดอนุภาค (θ) สามารถหาได้จากสมการ (3.2)

$$\theta = \arcsin \left[\frac{(1 + K^2 - M_{Total}^2)^{1/2} - (K \times M_{Total})}{1 + K^2} \right] \quad (3.2)$$

หากำลัง K ได้จากสมการ (3.3)

$$K = \frac{D_m (\sin \phi_m + f_s \cos \phi_m)}{D_b (\cos \phi_m - f_s \sin \phi_m)} \quad (3.3)$$

ค่านัมเกลี่ยวนะลี่ย (ϕ_m) หาได้จากสมการ (3.4)

$$\phi_m = \arctan \left(\frac{S}{\pi \times D_m} \right) \quad (3.4)$$

เส้นผ่านศูนย์กลางเฉลี่ยของฟันสกรู (D_m)

$$\begin{aligned} D_m &= D_s + H \\ &= (0.033 + 0.015) \text{ m} \\ &= 0.048 \text{ m} \end{aligned}$$

หากำลัง S ได้จากสมการ (3.5)

$$\begin{aligned} \phi_s &= \arctan \left(\frac{S}{\pi \times D_s} \right) \\ S &= \pi \times (D_s \tan \phi_s) \end{aligned} \quad (3.5)$$

$$\begin{aligned} S &= \pi \times (0.033 \tan 20) \\ S &= 0.0377 \text{ m} \end{aligned}$$



แทนค่า S และ D_m ลงในสมการ (3.4)

$$\begin{aligned}\phi_m &= \arctan\left(\frac{0.0377}{\pi \times 0.048}\right) \\ \phi_m &= 14.05^\circ\end{aligned}$$

□ มุมอีียงฟันเกลียวของสกรูเฉลี่ย, $\phi_m = 14.05^\circ$

แทนค่า D_m, ϕ_m, f_s, D_b ลงในสมการ (3.3) จะได้

$$\begin{aligned}K &= \frac{0.048(\sin 14.05 + 0.3 \cos 14.05)}{0.063(\cos 14.05 - 0.3 \sin 14.05)} \\ K &= 0.04533\end{aligned}$$

หาค่า M_{Total} จากสมการ (3.6)

$$M_{Total} = M_1 + M_2 + M_3 \quad (3.6)$$

หาค่า M_1 จากสมการ (3.7)

$$M_1 = \frac{2 \times H \times f_s}{W_b \times f_b} \times \sin \phi_b \times \left(K + \frac{D_m}{D_b} \times \cot \phi_m \right) \quad (3.7)$$

หาค่าความกว้างระหว่างฟันเกลียวสกรูในแนวอีียง (W_b) จากสมการ (3.8)

$$W_b = B \cos \phi_b \quad (3.8)$$

หาค่าความกว้างของร่องเกลียวสกรูตามแนวแกนสกรู (B) ได้จาก

$$\begin{aligned}B &= S - b \\ &= 0.03774 - 0.00338 \\ &= 0.03436\end{aligned}$$

หาค่ามุมเอียงของฟันสกรูที่ยอดฟันสกรู (ϕ_b) จากสมการ (3.9)

$$\begin{aligned}\phi_b &= \arctan\left(\frac{S}{\pi \times D_b}\right) \\ \phi_b &= \arctan\left(\frac{0.03774}{\pi \times 0.063}\right) = 10.795^\circ\end{aligned}\quad (3.9)$$

แทนค่า B และ ϕ_b ลงในสมการ(3.8) จะได้

$$W_b = 0.03436 \cos(10.795)$$

$$W_b = 0.03375$$

\therefore ความกว้างระหว่างฟันเกลียวสกรูในแนวเอียง, $W_b = 0.03375$ m

จากสมการ (3.7) แทนค่าหา M_1 จะได้

$$\begin{aligned}M_1 &= \frac{2 \times 0.015 \times 0.3}{0.03375 \times 0.6} \times \sin 10.795 \times \left(0.04533 + \frac{0.048}{0.063} \times \cot 14.05 \right) \\ M_1 &= 0.29116\end{aligned}$$

หาค่า M_2 จากสมการ(3.10)

$$M_2 = \frac{W_s \times f_s}{W_b \times f_b} \times \sin \phi_b \times \left(K + \frac{D_s}{D_b} \times \cot \phi_s \right) \quad (3.10)$$

หาค่าความกว้างระหว่างฟันเกลียวสกรูในแนวเอียงที่ต่ำแห่งโคนสกรู (W_s) จาก

$$W_s = B \cos \phi_s$$

$$= 0.03436 \cos 20$$

$$W_s = 0.03229$$

จากสมการ (3.10) แทนค่าหา M_2 จะได้

$$\begin{aligned}M_2 &= \frac{0.03229 \times 0.3}{0.03375 \times 0.6} \times \sin 10.795 \times \left(0.04533 + \frac{0.033}{0.063} \times \cot 20 \right) \\ M_2 &= 0.22812\end{aligned}$$

หาค่า M_3 จากสมการ (3.11)

$$M_3 = \frac{W_m \times H}{W_b \times Z_b \times f_b} \times \sin \phi_m \times \left(K + \frac{D_m}{D_b} \times \cot \phi_m \right) \times \ln \left(\frac{P_2}{P_1} \right) \quad (3.11)$$

หาค่าความกว้างระหว่างฟันเกลี่ยวัสดุเฉลี่ยในแนวอีบง (W_m) จาก

$$\begin{aligned} W_m &= B \cos \phi_m \\ &= 0.03436 \cos 14.05 \\ &= 0.03333 \text{ m} \end{aligned}$$

หาค่าความกว้างของ Barrel (Z_b) จาก

$$\begin{aligned} Z_b &= \frac{\pi \times D_b}{\cos \phi_b} \\ &= \frac{\pi \times 0.063}{\cos 10.795} \\ &= 0.2015 \end{aligned}$$

จากสมการ (3.11) แทนค่าจะได้

$$\begin{aligned} M_3 &= \frac{0.03333 \times 0.015}{0.03375 \times 0.2015 \times 0.6} \times \sin 14.05 \times \left(0.4533 + \frac{0.048}{0.063} \times \cot 14.05 \right) \times \ln(1) \\ M_3 &= 0 \end{aligned}$$

จากสมการ (3.6) จะได้

$$\begin{aligned} M_{Total} &= M_1 + M_2 + M_3 \\ &= 0.29116 + 0.22812 + 0 \\ &= 0.5193 \end{aligned}$$

แทนค่า K และ M_{Total} ในสมการ (3.2) จะได้

$$\begin{aligned} \theta &= \left(\frac{\left(1 + 0.04533^2 - 0.5193^2 \right)^{1/2} - (0.04533 \times 0.5193)}{(1 + 0.4533^2)} \right) \\ &= 37.39^\circ \end{aligned}$$

$$\therefore \text{มุมบนถ่ายเบดอนุภาค, } \theta = 37.40^\circ$$

หาค่า V_b จาก

$$\begin{aligned} V_b &= \pi \times D_b \times N \\ &= \pi \times (0.063 \text{ m}) \times \left(50 \text{ rpm} \times \frac{1}{60} \frac{\text{min}}{\text{s}} \right) \\ &= 0.16493 \frac{\text{m}}{\text{s}} \end{aligned}$$

แทนค่า V_b ลงในสมการ (3.1) จะได้

$$\begin{aligned} \dot{M}_s &= 415 \frac{\text{kg}}{\text{m}^3} \times 0.015 \text{ m} \times 1 \times 0.03375 \text{ m} \times 0.16493 \frac{\text{m}}{\text{s}} \times \frac{\sin 37.40}{\sin(37.40 + 14.05)} \\ &= 0.02691 \frac{\text{kg}}{\text{s}} \times 60 \frac{\text{s}}{\text{min}} \\ &= 1.6145 \frac{\text{kg}}{\text{min}} \\ \therefore \text{อัตราขันถ่ายเชิงมวล, } \dot{M}_s &= 1.615 \frac{\text{kg}}{\text{min}} \end{aligned}$$

ปริมาตรระหว่างร่องเกลียวของสกรูช่วงลำเดียวจาก

$$\begin{aligned} V &= \frac{\pi}{4} \times (D_b^2 - D_s^2) \times \cos \phi_m \times W_m \\ &= \frac{\pi}{4} \times (0.063^2 - 0.033^2) \times \cos 14.05 \times 0.03333 \\ &= 7.314 \times 10^{-5} \text{ m}^3 \end{aligned}$$

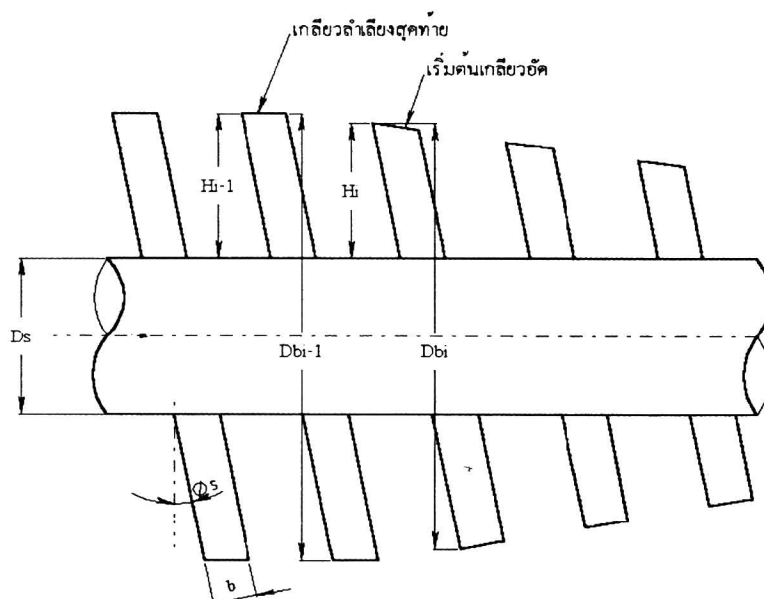
ดังนั้นปริมาตรระหว่างร่องเกลียวของสกรูในช่วงลำเดียวจะเท่ากับ $7.314 \times 10^{-5} \text{ m}^3$ ปริมาณของชีวมวลในร่องเกลียวจะมาก่อนที่จะหักห้ามความตึงหัวสกรู โดยทำการกำหนดให้ความหนาแน่นของชีวมวลในช่วงลำเดียวเท่ากับ $415 \frac{\text{kg}}{\text{m}^3}$ ดังนั้นปริมาณของชีวมวลในร่องเกลียวแต่ละร่องจะมีค่าเท่ากับ

$$\begin{aligned} m &= \rho \times V \\ &= 415 \frac{\text{kg}}{\text{m}^3} \times 7.314 \times 10^{-5} \text{ m}^3 \\ &= 0.03035 \text{ kg} \end{aligned}$$

ปริมาณของชีวนวลดในร่องเกลี่ยบที่หาได้นั้นจะพิจารณาให้มีค่าคงที่ตลอดทุกๆ ร่องเกลี่ยวของสกรูตั้งแต่ช่วงลำเลียงจนกระทั่งช่วงอัด เพื่อจะใช้ทำการหาค่าความหนาแน่นของเบดอนุภาคของชีวนวลดเมื่อถูกอัดเป็นแท่งเชือเพลิงในร่องเกลี่ยวต่อไป

3.7.2.2 การคำนวณช่วงอัด

ในการคำนวณสกรูอัดแห่งเชือเพลิงในช่วงการอัด จะมีขั้นตอนการคำนวณคล้ายกับการคำนวณในช่วงลำเลียง โดยสมการในการคำนวณจะใช้เหมือนกัน แต่จะแตกต่างกับสมการที่ 3.6 ซึ่งจะมีผลทำให้สมการที่ 3.11 นั้นมีค่าของเทอม M_3 เพิ่มขึ้นมาเนื่องจากในช่วงการอัดนั้นจะเกิดความดันที่แตกต่างกันของเบดอนุภาคของชีวนวลดทั่วทางเข้าร่องเกลี่ยวและทางออกของร่องเกลี่ยว (P_2/P_1) แต่ละร่องฟันที่เกิดการอัดอนุภาคของชีวนวลดให้เป็นแท่งเชือเพลิง ความหนาแน่นของเบดอนุภาคของชีวนวลดจะเพิ่มขึ้นต่อไปเรื่อยๆ ร่องเกลี่ยวต่อเนื่องกันโดยที่การลดลงของขนาดความสูงของฟันเกลี่ยวจะลดลงพื้นละ 2.5 mm ดังรูปที่ 3.12 และเหตุผลดังกล่าวนี้ทำให้การหาปริมาตรของร่องเกลี่ยวต้องใช้ความสูงของฟันเกลี่ยเฉลี่ย (\bar{D}_{bi}) ระหว่างฟันเกลี่ยวในตำแหน่งที่กำลังพิจารณา (D_{bi}) และฟันเกลี่ยวในตำแหน่งที่ได้พิจารณามาก่อนแล้ว (D_{bi-1}) ดังรูปที่ 3.10 ซึ่งจะทำการกำหนดตัวแปรเริ่มต้นที่ใช้ในการคำนวณดังนี้



รูปที่ 3.10 ลักษณะการลดความสูงของฟันเกลี่ยวในช่วงการอัด

ตัวแปรที่ใช้ในการคำนวณสกรูช่วงอัดในฟันเกลียวแรกจากุปที่ 3.10

D_s	=	ขนาดเส้นผ่านศูนย์กลางสกรู = 33 mm = 0.033 m
D_{bi-1}	=	ขนาดเส้นผ่านศูนย์กลาง barrel ตำแหน่งที่พิจารณา ก่อนหน้า = 63 mm = 0.063 m
H_i	=	ความลึกของร่องเกลียวตำแหน่งที่กำลังพิจารณา = 14 mm = 0.014 m
H_{i-1}	=	ความลึกของร่องเกลียวตำแหน่งที่พิจารณา มา ก่อนแล้ว = 15 mm = 0.015 m
ϕ_s	=	มุมเอียงของฟันสกรูที่ตำแหน่งโคน = 20°
f_b	=	สัมประสิทธิ์ความเสียดทานระหว่างอนุภาค กับ ผิวของ barrel = 0.6
f_s	=	สัมประสิทธิ์ความเสียดทานระหว่างอนุภาค กับ ผิวของสกรู = 0.3
P_1	=	ความดันของเบดอนุภาคชีวมวลตามความยาว ร่องเกลียวทางเข้า = 1.01325 bar
P_2	=	ความดันของเบดอนุภาคชีวมวลตามความยาว ร่องเกลียวทางออก
p	=	จำนวนปากของเกลียวสกรู = 1 ปาก
N	=	ความเร็วรอบของสกรู = 50 rpm
ρ_i	=	ความหนาแน่นของชีวมวลเริ่มต้น = 415 kg/m³
b	=	ความหนาของฟันสกรูที่วัดนาน กับ แกนสกรู = 3.38 mm = 0.00338 m
m	=	ปริมาณชีวมวลที่อยู่ภายในร่องเกลียวไดๆ = 0.03035 kg

จากสมการ (3.1) หากค่าอัตราการขันถ่ายเชิงมวลดังนี้

$$\dot{M}_s = \rho \times H \times p \times W_b \times V_b \times \frac{\sin \theta}{\sin(\theta + \phi_m)}$$

มุมขันถ่ายเบดอนุภาค (θ) สามารถหาได้จากสมการ (3.2)

$$\theta = \arcsin \left[\frac{(1 + K^2 - M_{Total}^2)^{1/2} - (K \times M_{Total})}{1 + K^2} \right]$$

หากค่า K ได้จากสมการ (3.12)

$$K = \frac{D_{mi} (\sin \phi_{mi} + f_s \cos \phi_{mi})}{D_{bi} (\cos \phi_{mi} - f_s \sin \phi_{mi})} \quad 3.12$$

หาค่ามุมเกลียวเฉลี่ย (ϕ_{mi}) จากสมการ (3.13)

$$\phi_{mi} = \arctan\left(\frac{S_i}{\pi + D_{mi}}\right) \quad 3.13$$

เส้นผ่านศูนย์กลางเฉลี่ยของฟันสกรู (D_{mi})

$$\begin{aligned} D_{mi} &= D_s + H_i \\ &= 0.033 + 0.014 \\ &= 0.047 \text{ m} \end{aligned}$$

เส้นผ่านศูนย์กลางของ barrel ในตำแหน่งที่พิจารณา (D_{bi})

$$\begin{aligned} D_{bi} &= D_s + 2H_i \\ &= 0.033 + 2(0.014) \\ &= 0.061 \end{aligned}$$

หาค่ามุมเอียงของฟันสกรูที่ตำแหน่งโคน (ϕ_s) จาก

$$\begin{aligned} \phi_s &= \arctan\left(\frac{S_i}{\pi + D_s}\right) \\ S_i &= \pi \times (D_s \tan \phi_s) \\ &= \pi \times (0.033 \tan 20) \\ &= 0.03773 \text{ m} \end{aligned}$$

แทนค่า S_i และ D_{mi} ลงในสมการ (3.12) จะได้

$$\begin{aligned} \phi_{mi} &= \arctan\left(\frac{0.03773}{\pi + 0.047}\right) \\ &= 14.335 \end{aligned}$$

\therefore มุมเอียงฟันเกลียวของสกรูเฉลี่ย, $\phi_{mi} = 14.34^\circ$

แทนค่า D_{mi} , ϕ_{mi} , f_s และ D_{bi} ลงในสมการ (3.12) จะได้

$$K = \frac{0.047(\sin 14.34 + 0.3 \cos 14.34)}{0.061(\cos 14.34 - 0.3 \sin 14.34)} = 0.4636$$

หาค่า M_1 จากสมการ (3.14)

$$M_1 = \frac{2 \times H_i \times f_s}{W_{bi} \times f_b} \times \sin \phi_{bi} \times \left(K + \frac{D_{mi}}{D_{bi}} \times \cot \phi_{mi} \right) \quad 3.14$$

หาค่าความกว้างระหว่างฟันเกลี่ยวัสดุในแนวอิ่ง (W_{bi}) จากสมการ (3.15)

$$W_{bi} = B \cos \phi_{bi} \quad 3.15$$

หาค่าความกว้างของร่องเกลี่ยวัสดุตามแนวแกนสกรู (B) จาก

$$\begin{aligned} S &= (B + b) \times p \\ p &= 1 \\ B &= S - b \\ &= 0.03773 - 0.00338 \\ &= 0.03435 \end{aligned}$$

หาค่ามุมอิ่งของฟันสกรูที่ยอดฟันสกรู (ϕ_{bi}) จาก

$$\begin{aligned} \phi_{bi} &= \arctan \left(\frac{S}{\pi \times D_{bi}} \right) \\ \phi_{bi} &= \arctan \left(\frac{0.3773}{\pi \times 0.061} \right) = 11.139^\circ \end{aligned}$$

แทนค่า B และ ϕ_{bi} ลงในสมการ (3.15)

$$\begin{aligned} W_{bi} &= 0.03435 \cos 11.139 \\ &= 0.03353 \text{ m} \end{aligned}$$

\therefore ความกว้างระหว่างฟันเกลี่ยวัสดุในแนวอิ่ง, $W_{bi} = 0.03371 \text{ m}$

แทนค่าต่างๆ ลงในสมการ (3.14) เพื่อหา M_1 จะได้

$$\begin{aligned} M_1 &= \frac{2 \times 0.014 \times 0.3}{0.03371 \times 0.6} \times \sin 11.139 \times \left(0.4636 + \frac{0.047}{0.061} \times \cot 14.335 \right) \\ &= 0.2791 \end{aligned}$$

หาค่า M_2 จากสมการ (3.16)

$$M_2 = \frac{W_{si} \times f_s}{W_{bi} \times f_b} \times \sin \phi_{bi} \times \left(K + \frac{D_{si}}{D_{bi}} \times \cot \phi_{si} \right) \quad 3.16$$

หาค่าความกว้างระหว่างฟันเกลี่ยวสกรูในแนวอุ่งที่ตำแหน่งโคนสกรู (W_{si}) จากสมการ (3.17)

$$\begin{aligned} W_{si} &= B \cos \phi_{si} \\ &= 0.03435 \cos 20 \\ &= 0.03228 \end{aligned} \quad 3.17$$

แทนค่าลงในสมการ (3.16)

$$\begin{aligned} M_2 &= \frac{0.03228 \times 0.3}{0.03371 \times 0.6} \times \sin 11.139 \times \left(0.4636 + \frac{0.047}{0.061} \times \cot 20 \right) \\ &= 0.1804 \end{aligned}$$

หาค่า M_3 จากสมการ (3.18)

$$M_3 = \frac{W_{mi} \times H_i}{W_{bi} \times Z_{bi} \times f_b} \times \sin \phi_{mi} \times \left(K + \frac{D_{mi}}{D_{bi}} \times \cot \phi_{mi} \right) \times \ln \left(\frac{P_2}{P_1} \right) \quad 3.18$$

หาค่าความกว้างระหว่างฟันเกลี่ยวสกรูเฉลี่ยในแนวอุ่ง (W_{mi}) จากสมการ (3.19)

$$\begin{aligned} W_{mi} &= B \cos \phi_{mi} \\ &= 0.03435 \cos 14.335 \\ &= 0.03328 \end{aligned} \quad 3.19$$

หาค่าความกว้างของ Barrel (Z_b)

$$\begin{aligned} Z_b &= \frac{\pi \times D_{bi}}{\cos \phi_b} \\ &= \frac{\pi \times 0.061}{\cos 11.139} = 0.1953 \text{ m} \end{aligned}$$

จากสมการ (3.18) จะได้

$$M_3 = \frac{0.03328 \times 0.014}{0.03371 \times 0.1953 \times 0.6} \times \sin 14.335 \times \left(0.4636 + \frac{0.047}{0.061} \times \cot 14.335 \right) \times \ln \left(\frac{P_2}{P_1} \right)$$

จากสมการที่ 3.18 จะมีเทอมของอัตราส่วนของความดันของเบค่อนุภาคชีวมวลตามความเยาวของร่องเกลียวสูตร (P_2/P_1) ซึ่ง P_1 เป็นความดันที่ทางเข้าร่องเกลียวอัดเกลียวแรกหรือความดันที่ออกจากร่องเกลียวลำเลียงเกลียวสุดท้าย ส่วน P_2 หาได้จากการความสัมพันธ์ของ Husain และคณะ [7]

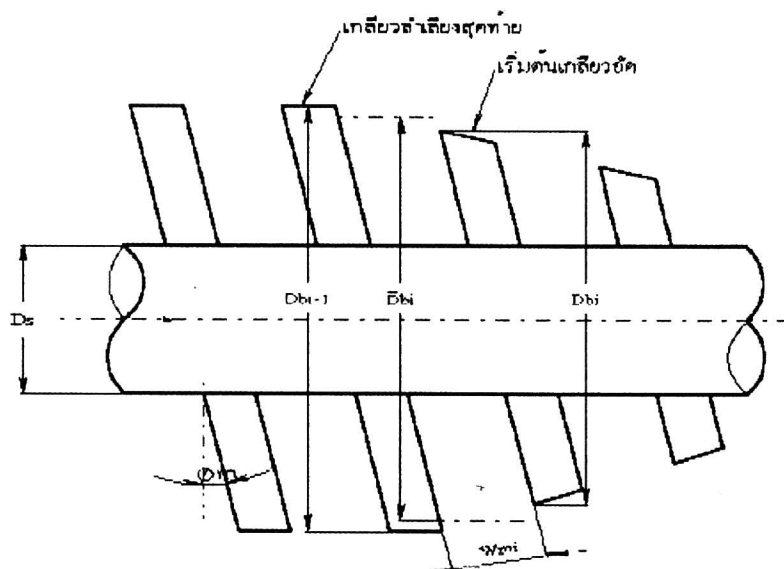
$$P_2 = ae^{bD} \quad 3.20$$

โดยที่ P_2 เป็นความดันของเบค่อนุภาคที่ออกจากร่องเกลียวอัด (MPa)

$$a = 0.05818$$

$$b = 0.0041$$

D เป็นความหนาแน่นของเบคชีวมวลที่ออกจากร่องเกลียวอัดใดๆ (kg/m^3)



รูปที่ 3.11 ลักษณะปริมาตรในร่องเกลียวอัด

ความหนาแน่นของเบคชีวมวลที่ถูกอัดออกจากร่องเกลียวอัดร่องใดๆ สามารถหาได้จากการความสัมพันธ์ของปริมาณชีวมวลในร่องเกลียวและปริมาตรของร่องเกลียวเดียวกัน และจากที่กล่าวไปแล้วข้างต้นว่าปริมาณชีวมวลที่หาได้จากร่องเกลียวลำเลียงเกลียวแรกนั้นมีค่าคงที่ ดังนั้นความหนาแน่นของเบค

อนุภาคของชีวนมวลในร่องเกลียวอัดใดๆ จะมีค่าเท่ากับมวลในร่องเกลียวลำเลียงเกลียวแรกต่อปริมาตรในร่องเกลียวอัดใดๆ ซึ่งปริมาตรของร่องเกลียวอัดใดๆ หาได้จากสมการที่ 3.21

$$\begin{aligned} V_i &= \frac{\pi}{4} (\bar{D}_{bi}^2 - D_s^2) \times \cos \phi_{mi} \times W_{mi} & 3.21 \\ \text{โดยที่} \quad \bar{D}_{bi} &= \frac{D_{bi-1} + D_{bi}}{2} \\ \bar{D}_{bi} &= \frac{0.063 + 0.061}{2} = 0.062 \text{ m} \end{aligned}$$

แทนค่าลงในสมการ (3.20)

$$\begin{aligned} V_i &= \frac{\pi}{4} (0.062^2 - 0.033^2) \times \cos 14.335 \times 0.03328 \\ &= 6.98 \times 10^{-5} \text{ m}^3 \end{aligned}$$

ดังนั้น ความหนาแน่นของเบคอนุภาคที่ออกจากร่องเกลียวอัดมีค่า

$$\rho_i = \frac{m}{V_i} = \frac{0.0305}{6.98 \times 10^{-5}} = 437.42 \text{ kg/m}^3$$

แทนค่าความหนาแน่นของเบคอนุภาคลงในสมการที่ 3.20 ซึ่งจะได้ความดัน P_2

$$\begin{aligned} P_2 &= 0.05818 \times e^{0.0041 \times 437.42} \\ &= 3.5 \text{ bar} \end{aligned}$$

แทนค่า P_2 ลงในสมการที่ (3.18) จะได้

$$\begin{aligned} M_3 &= \frac{0.03328 \times 0.014}{0.03371 \times 0.1953 \times 0.6} \times \sin 14.335 \times \left(0.4636 + \frac{0.047}{0.061} \times \cot 14.335 \right) \times \ln \left(\frac{3.5}{1.01325} \right) \\ M_3 &= 0.126 \end{aligned}$$

หากค่า M_{Total} ได้จาก

$$\begin{aligned} M_{Total} &= M_1 + M_2 + M_3 \\ &= 0.2791 + 0.1804 + 0.1258 \\ &= 0.585 \end{aligned}$$

แทนค่า K และ M_{Total} ลงในสมการ (3.2)

$$\theta = \arcsin \left[\frac{\left(1 + 0.4636^2 - 0.585^2\right)^{1/2} - (0.4636 \times 0.585)}{1 + 0.4636^2} \right]$$

$$\theta = 33.0495^\circ$$

$$\text{มุมบนถ่ายเบนดอนุภาค, } \theta = 33.05^\circ$$



ทำการหาค่า V_b ได้จาก

$$\begin{aligned} V_b &= \pi \times D_{bi} \times N \\ &= \pi \times (0.061 \text{ m}) \left(50 \text{ rpm} \times \frac{1}{60} \frac{\text{min}}{\text{s}} \right) \\ &= 0.1597 \frac{\text{m}}{\text{s}} \end{aligned}$$

แทนค่า V_b ลงในสมการ (3.1) จะได้

$$\begin{aligned} \dot{M}_s &= 437.42 \frac{\text{kg}}{\text{m}^3} \times 0.014 \text{ m} \times 1 \times 0.3371 \text{ m} \times 0.1597 \frac{\text{m}}{\text{s}} \times \frac{\sin 33.05}{\sin(33.05 + 14.335)} \\ &= 0.02318 \frac{\text{kg}}{\text{s}} \times 60 \frac{\text{s}}{\text{min}} \\ &= 1.3906 \frac{\text{kg}}{\text{min}} \\ \therefore \text{อัตราการขยับชิงมวลหรืออัตราการผลิต, } \dot{M}_s &= 1.391 \frac{\text{kg}}{\text{min}} \end{aligned}$$

จากการคำนวณสกัดในช่วงอัคข้างต้น เมื่อทำการคำนวณต่อไปจนกระทั่งได้ความหนาแน่นสุดที่พิน-เกลียวสุดท้ายแล้ว สามารถสรุปผลการคำนวณผลการในร่องเกลียวฟันแรกจนถึงร่องเกลียวอัคฟันสุดท้ายได้ดังตารางที่ 3.20 ซึ่งลักษณะและขนาดของสกัดที่ได้ออกแบบไว้ใช้สำหรับในงานวิจัยนี้สามารถดูได้จากภาพผนวก ค

ตารางที่ 3.20 ผลสรุปของการคำนวณสก遒ในช่วงการอัด

ความลึกของร่องเกลี่ยว (m)	ความหนาแน่น (kg/m^3)	ความดัน (bar)	อัตราการผลิต (kg/min)
เกลี่ยวสำเร็จ (0.015)	415.000	1.01325	1.615
เกลี่ยวอัด (0.014)	445.763	4.942	1.391
เกลี่ยวอัด (0.011)	524.770	6.6024	1.107
เกลี่ยวอัด (0.008)	631.060	7.7347	0.847

กำลังงานที่ใช้ในการขับสก遒อัดแท่ง เชือเพลิงห้าได้จากการรวมกำลังงานที่ใช้ในการบิดสก遒ในแต่ละร่องเกลี่ยวจากเกลี่ยวอัดเกลี่ยวแรกจนถึงเกลี่ยวอัดสุดท้าย โดยจะเริ่มจากร่องเกลี่ยวอัดแรกจะหาค่าได้ดังนี้

แรงที่กระทำที่ barrel ในร่องเกลี่ยวแรกห้าได้จาก

$$\begin{aligned}
 F_b &= P \times W_b \times f_b \times Z_b \\
 F_{b1} &= 4.942 \times 100 \times 0.03371 \times 0.6 \times 0.1953 \\
 &= 1.952 \text{ kN}
 \end{aligned}$$

ความเร็วของ barrel ที่ตำแหน่งร่องเกลี่ยวแรกมีค่าเท่ากับ

$$\begin{aligned}
 V_b &= \pi \times D_b \times N \\
 V_{b1} &= \frac{\pi \times 0.061 \times 50}{60} \\
 &= 0.1597 \text{ m/s}
 \end{aligned}$$

กำลังงานที่ใช้ในการหมุนร่องเกลี่ยวแรกมีค่าเท่ากับ

$$\begin{aligned}
 P_w &= F_b \times V_b \\
 P_{w1} &= 1.952 \times 0.1597 \\
 &= 0.03117 \text{ kW}
 \end{aligned}$$

ในการหากำลังงานที่ใช้ในการอัดแท่งเชือเพลิงในร่องเกลียวอื่นๆ จะหาได้จากการเดียวกันนี้ซึ่งจะสรุปผลการคำนวณได้ดังตารางที่ 3.21

ตารางที่ 3.21 ผลการคำนวณกำลังงานที่ใช้ในการขับสกru อัดแท่งเชือเพลิง

ร่องเกลียวอัดที่	H (m)	F _b (kN)	V _b (m/s)	P _w (kW)
1	0.014	1.331	0.14397	0.3117
2	0.011	7.4718	0.1262	0.9429
3	0.008	12.5327	0.1145	1.4350
รวม				2.6896

จากตารางที่ 3.21 พบว่ากำลังงานที่ใช้ในการขับสกru อัดแท่งเชือเพลิงรวมมีค่าเท่ากับ 2.554 kW ซึ่งเมื่อนำมาหาราคาของมอเตอร์จะมีค่าเท่ากับ

$$\begin{aligned} P_{input} &= \frac{2.6896}{0.85 \times 0.95} \\ &= 3.3308 \text{ kW} \end{aligned}$$

ขนาดของมอเตอร์ที่จะใช้ขับสกru อัดแท่งเชือเพลิงซึ่งคิดเป็นแรงม้าจะมีค่าเท่ากับ

$$\begin{aligned} P_{input} &= \frac{3.3308 \times 1000}{746} \\ &= 4.465 \text{ hp} \end{aligned}$$

ดังนั้นขนาดของมอเตอร์ที่ต้องใช้ในการขับสกru อัดแท่งเชือเพลิงต้องมีขนาด 5 แรงม้า

3.7.3 การคำนวณสกru อัดแท่งเชือเพลิงที่ใช้งานวิจัย

ในการทดสอบเครื่องอัดแท่งเชือเพลิงนั้นจะเลือกทดสอบเฉพาะสัดส่วนการผสมที่ทำให้ได้แท่งเชือเพลิงที่มีค่าความร้อนสูงสุดจากการทดสอบในหัวข้อ 3.3 และนำแท่งเชือเพลิงที่ผลิตได้นั้นไปทดสอบสมบัติทางกายภาพ อันได้แก่ ค่าความร้อน ค่าความหนาแน่น และค่าความด้านทานแรงกดเพื่อนำไปเปรียบเทียบกับแท่งเชือเพลิงที่ผลิตได้จากการเครื่องอัดแท่งเชือเพลิงที่ใช้ทดลองในหัวข้อ 3.3 นอกจากนี้สกru อัดแท่งเชือเพลิงที่ออกแบบจากหัวข้อที่ 3.7.2 ใช้ค่าของสัมประสิทธิ์ความเสียดทานของผิวสกรูและผิวของ Barrel ที่ไม่เฉพาะเจาะจงสำหรับชีวนมวล ผลของการที่ค่าสัมประสิทธิ์ความเสียดทานซึ่งเป็นสมบัติเฉพาะของชีวนมวลแต่ละชนิดและแต่ละส่วนผสมอาจทำให้ผลที่ได้จาก

การทดลองจริงค่าดีลี่อนจากการคำนวณ ดังนั้นจำเป็นต้องหาค่าสมรรถนะของสกูอัดที่ใช้ในการอัดเท่งเชื้อเพลิงชีวมวลตามสมการที่ 3.22

$$\text{สมรรถนะของสกูอัด} = \frac{\text{อัตราการไหเลเชิงมวลจริง}}{\text{อัตราการไหเลเชิงมวลทฤษฎี}} \times 100\% \quad 3.22$$

3.8 การศึกษาฐานร่องของแท่งเชื้อเพลิงที่เหมาะสมกับการใช้ในเตาผลิตแก๊สเชื้อเพลิง

การศึกษาสมบัติของแก๊สชีวมวล มีวัตถุประสงค์เพื่อประเมินความสามารถในการผลิตพลังงานด้วยกระบวนการแก๊สซิฟิเคชันของเชื้อเพลิงชีวมวลชนิดต่างๆ ซึ่งปกติแก๊สชีวมวลที่ผลิตได้จะมีองค์ประกอบ (Gas composition) คือ แก๊สคาร์บอนมอนอกไซด์ คาร์บอนไดออกไซด์ ในโตรเจนออกซิเจน ไฮโดรเจน และมีเทน ในสัดส่วนที่แตกต่างกันขึ้นอยู่กับชนิดของเชื้อเพลิงชีวมวลที่ใช้ นอกจากนี้แก๊สชีวมวลที่ผลิตได้จากการกระบวนการแก๊สซิฟิเคชัน จะมีส่วนประกอบของtar (Tar) ซึ่งเป็นไฮโรเหลห์ที่มีโมเลกุลหนัก และฝุ่นละออง (Dust) เป็นสิ่งปนเปื้อน (Gas Impurities) อาจมาด้วยซึ่งปริมาณการเกิดจำนวนมากหรือน้อยขึ้นอยู่กับลักษณะการเผาไหม้ของเชื้อเพลิงว่าเป็นการไหม้ที่สมบูรณ์มากน้อยเพียงใด ทาร์สามารถควบแน่นได้เมื่ออุณหภูมิลดลง และกลายเป็นของเหลวที่มีความหนืดสูง และมีฤทธิ์กัดกร่อน ทั้งทาร์และฝุ่นละอองเป็นอันตรายและเป็นปัจจัยหลักในการนำแก๊สชีวมวลไปใช้ผลิตไฟฟ้า สำหรับการวิเคราะห์เพื่อหาองค์ประกอบของแก๊สชีวมวลสามารถทำได้โดยใช้เครื่อง Gas Chromatograph สำหรับการประเมินประสิทธิภาพการผลิตแก๊สชีวมวลสามารถคำนวณได้โดยใช้ความสัมพันธ์ดังนี้

$$\text{Gasification Efficiency} (\eta_g) = [V_g \times \text{HHV}_g] / [M_{\text{bio}} \times \text{HHV}_{\text{bio}}] \quad 3.23$$

V_g = ปริมาตรแก๊สที่ผลิตได้

HHV_g = ค่าความร้อนของแก๊สที่ผลิตได้

M_{bio} = มวลของชีวมวลที่ใช้ (Fuel consumption, kg/h)

HHV_{bio} = ค่าความร้อนของชีวมวลที่ใช้

ในการทำวิจัยนี้ทำการศึกษาฐานร่องด้วยกระบวนการแก๊สซิฟิเคชัน แล้วเปรียบเทียบประสิทธิภาพการผลิตแก๊สชีวมวลสำหรับแท่งเชื้อเพลิงแต่ละชนิดที่มีรูปร่างลักษณะแตกต่างกันไป